

Análise Teórica do Processo Convencional de Repuxamento

Ricardo Vechin de Macedo¹, Miguel A. Menezes²

Departamento de Engenharia Mecânica - DEM, Faculdade de Engenharia de Ilha Solteira - FEIS,
Universidade Estadual Paulista - UNESP

Av. Brasil Centro, CEP 15385-000, Ilha Solteira, SP, Brasil

¹rvmacedo@aluno.feis.unesp.br, ²miguel@dem.feis.unesp.br

O Repuxamento é um método de conformação de chapas metálicas dentro de formas assimétricas sem costura através de uma combinação de rotação e força. Analisando a técnica usada, as aplicações e os resultados obtidos, pode-se dividir o repuxamento em duas categorias: repuxamento manual e repuxamento forçado. A operação é realizada com o uso de uma máquina ou um torno de repuxar, consiste em pressionar uma ferramenta, haste ou rolete de compressão, contra um “blank” circular de metal, que é rotacionado por um cabeçote. O “blank” é usualmente forçado sobre a placa-matriz com uma forma pré-determinada. Formas simples podem ser repuxadas sem uma placa-matriz. Vários dispositivos mecânicos são utilizados para incrementar a força que pode ser aplicada na peça trabalhada. Em tese qualquer metal dútil que possa ser conformado a frio por outros métodos, pode ser repuxado. Alguns repuxamentos são feitos a quente; o material pode algumas vezes sofrer pré-tratamento para aumentar a ductilidade ou para permitir o afinamento de seções a serem repuxadas. Neste trabalho, se enfoca o estudo da componente tangencial da força que atua no processo de repuxamento forçado.

Dentre as três forças que atuam sobre a ferramenta, a componente tangencial da força, que é a componente na direção paralela ao “blank” e tangencial ao mandril, é a mais importante do ponto de vista da força necessária ao processo. A análise deste trabalho é baseada na geometria do processo de repuxamento (fig.1) e na incorporação do encruamento; entretanto, esses resultados não devem ser considerados após o início do enrugamento.

Considerando para a análise a energia de deformação, ΔW , requerida para deformar a flange durante uma revolução no mandril, se pode dividir essa energia em duas energias, aplicadas em diferentes regiões. Assim tem-se:

$$\Delta W = \Delta W_1 + \Delta W_2 \quad (1)$$

A primeira ΔW_1 , é a energia requerida para deformar a flange durante uma revolução do mandril, onde se assume que a alteração na espessura da flange é pequena. Que pode ser equacionada como:

$$\Delta W_1 = \int_{V_1} \bar{\sigma} \Delta \bar{\epsilon}_1 dV_1 \quad (2)$$

Considerando que o material obedece a curva Tensão-Deformação expressada por

$$\bar{\sigma} = k \cdot \Delta \bar{\epsilon}_1 \quad (3)$$

onde de [1], a deformação efetiva incremental da região 1 (fig. 1) relacionada com a geometria

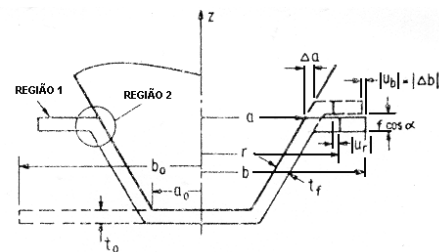


Fig 1 Geometria do processo de repuxamento convencional

dada por:
$$\Delta \bar{\epsilon}_1 = \left(\frac{t_f}{t_0 \cdot \sin \alpha} - 1 \right) \cdot f \cdot \sin \alpha \cdot \frac{a}{r^2} \quad (4)$$

e a variação do volume igual a:
$$dV_1 = 2 \cdot \pi \cdot t_0 \cdot r \cdot dr \quad (5)$$

Assim, da equação (3), (4) e (5) em (2), e resolvendo a integral, com $t_f = t_0 \cdot \sin \phi$

$$\Delta W_1 = k \cdot 2 \cdot \pi \cdot t_0 \cdot \left[(\sin \phi - \sin \alpha) \cdot f \cdot a \right]^{n+1} \cdot \frac{r^{-2 \cdot n}}{-2 \cdot n} \quad (6)$$

A outra energia, ΔW_2 , é devido a deformação localizada na região da ferramenta, que será expressa por:

$$\Delta W_2 = \Delta V_2 \int \bar{\sigma} \cdot d\bar{\epsilon}_2 \quad (7)$$

De [2], para materiais que seguem a curva tensão-deformação $\bar{\sigma} = k \cdot \Delta \bar{\epsilon}_2^n$ e de [1] que a deformação efetiva incremental seja dada por $\Delta \bar{\epsilon}_2 = \frac{\gamma}{\sqrt{3}} = \frac{\cot \phi}{\sqrt{3}}$, sendo $\Delta V_2 = 2 \cdot \pi \cdot a \cdot f \cdot t_f$, a

equação (7) fica:

$$\Delta W_2 = \frac{2 \cdot \pi \cdot a \cdot f \cdot k \cdot t_0 \cdot \sin \phi}{n+1} \left(\frac{\cot \phi}{\sqrt{3}} \right)^{n+1} \quad (8)$$

Concluindo, se a componente tangencial da força for formulada através da energia requerida, ΔW , como $\Delta W = Ft \cdot 2 \cdot \pi \cdot a$ e $\Delta W = \Delta W_1 + \Delta W_2$; de onde finalmente se obtém:

$$F_t = k \cdot t_0 \cdot \left\{ -\frac{1}{2 \cdot a \cdot n \cdot r^{2n}} \cdot \left[(\sin \phi - \sin \alpha) \cdot f \cdot a \right]^{n+1} + \left[\frac{f \cdot \sin \phi}{n+1} \left(\frac{\cot \phi}{\sqrt{3}} \right)^{n+1} \right] \right\} \quad (9)$$

Através dos dados experimentais obtidos de [3] e aplicando a equação acima se define os resultados mostrados na fig. 2.

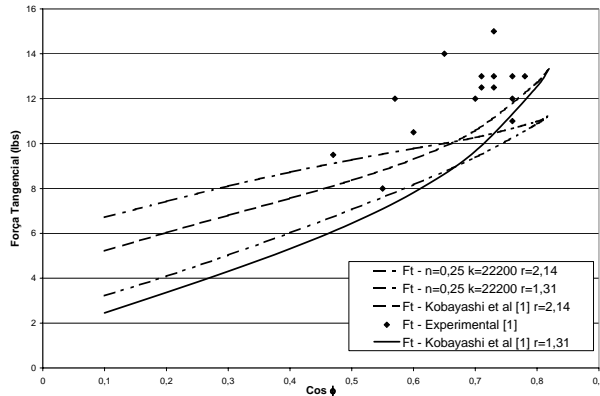


Fig. 2 – Comparação entre os componentes de forças tangenciais teóricas obtidas, e as previstas por Kobayashi et al. e os pontos experimentais [1], para $t_0=0,05$ in, $f=0,0281$ ipr, $a=1,054$ in e $\alpha=35^\circ$.

A força tangencial foi derivada usando o método da energia de deformação uniforme com a incorporação do encruamento. A concordância entre os resultados teóricos pela presente análise foi muito boa em relação aqueles previstos na literatura, e com os dados experimentais das forças tangenciais, para uma espessura $t_0=0.05$ in. Isto porque, o encruamento reduz a variação da espessura no processo.

REFERÊNCIAS

- [1] Sortais, H. C., Kobayashi, S., Thomsen, E.G., “Mechanics of Conventional Spinning”, Transactions of the ASME, p. 346-350, November, 1963.
- [2] Marciniak, Z. & Duncan, J., “Mechanics of Sheet Metal Forming”, Edward Arnold, 1992.
- [3] Kobayashi, S., “Instability in Conventional Spinning of Cones”, Transactions of the ASME, p. 44-48, February, 1963.